

# ТЕПЛОЭНЕРГЕТИКА

УДК 536.24:519.6

## ОХЛАЖДЕНИЕ ГОРЯЧЕГО ГАЗА ТВЁРДЫМИ ОХЛАДИТЕЛЯМИ

**В.В. Кириллов**

г. Челябинск, ЮУрГУ

## COOLING HOT GAS WITH SOLID COOLANTS

**V.V. Kirillov**

Chelyabinsk, South Ural State University

Представлен метод расчёта процессов тепло- и массообмена в газогенераторе с твёрдым охладителем для производства охлаждённого газа.

**Ключевые слова:** математическое моделирование, камера сгорания, камера охлаждения, охладитель, разностная схема.

This paper presents a method for calculating the heat and mass transfer in a gas generator with a solid cooler for the production of cooled gas.

**Keywords:** mathematical modeling, combustion chamber, cooling chamber, a cooler, the difference scheme.

Газ как рабочее тело применяется в различных областях техники. Одной из таких областей является использование газа для заполнения различного рода понтонов при подводных работах, автомобильных подушек безопасности, плавающих платформ разного назначения и т. п. [1]. Применение газобаллонных систем для этих целей требует наличия баллонов с сжатым газом высокого давления, что не всегда оправданно с точки зрения габаритов и массы.

С этой точки зрения более выгодно использовать твёрдое топливо, продукты сгорания которого можно использовать в вышеуказанных системах. Однако для этого необходимо снизить температуру газа до 350...450 К. Одним из методов охлаждения горячего газа является пропускание его через слой твёрдого охладителя, разлагающегося с поглощением тепла. В качестве охладителей применяются составы, продукты разложения которых не содержат агрессивных газов, например, углекислый аммоний.

На рис. 1 изображена принципиальная схема низкотемпературного газогенератора (НТГГ). Продукты сгорания топлива из камеры сгорания (КС) поступают в камеру охлаждения (КО), в которой находится твёрдый охладитель в виде гранул.

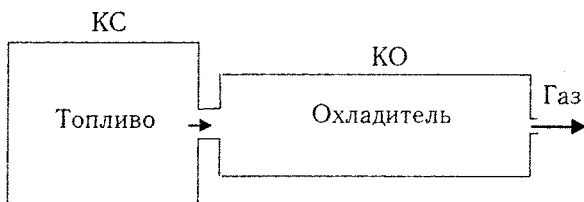


Рис. 1. Принципиальная схема НТГГ

Температура горения топлива составляет 1600...2000 К. Рабочие процессы в КС описываются обычно нульмерной математической моделью, поскольку температура и давление по длине КС меняется незначительно. В КО температура меняется от температуры горения топлива в среднем до 400 К. В широком диапазоне изменяются также плотность и давление. Кроме того, как показывают экспериментальные исследования [2], скорость разложения охладителя сильно зависит от температуры газа и существенно изменяется по длине КО. Обычно подобные аппараты обладают осевой симметрией, поэтому для описания процессов гидродинамики и тепло- и массообмена применяются одномерные математические модели. Применение двумерных и трёхмерных математических моделей требует описания движения газа в каналах сложной формы, образованных разлагающимися гранулами. А поскольку заполнение КО гранулами производится засыпкой, расположение гранул и форма каналов имеют случайный характер. Кроме того, нужно описывать движение каждой гранулы. Количество гранул в КО составляет от нескольких сотен до нескольких тысяч. Подобные задачи в настоящее время практически не реализуемы даже на суперкомпьютерах. Поэтому движение газа через слой гранул целесообразно описывать как течение через пористый слой некоторой начальной пористости. По данным [3] при свободной засыпке средняя пористость находится в диапазоне 0,32...0,39.

Газовая смесь в КО состоит из неконденсирующихся продуктов сгорания топлива (НК газы

ПСГ), таких как, например, углекислый газ и т. п., неконденсирующихся продуктов разложения охладителя (НК газы ПРО), таких как углекислый газ, аммиак и т.п., и водяного пара. Состояние НК газов в КС и КО и пара в КС подчиняется уравнению состояния идеального газа. Состояние водяного пара в КО определяется согласно [4].

Рабочие процессы в КС описываются следующей системой уравнений:

$$\frac{d\rho_{\text{kc}}V_{\text{kc}}}{d\tau} = \rho_{\text{t}}u_{\text{t}}F_{\text{t}} - G_{\text{kc}}; \quad (1)$$

$$\frac{d\rho_{\text{kc}}V_{\text{kc}}c_{v\text{kc}}T_{\text{kc}}}{d\tau} = \rho_{\text{t}}u_{\text{t}}h_{\text{t}}F_{\text{t}} - G_{\text{kc}}h_{\text{kc}} - Q_{\text{kc}}; \quad (2)$$

$$\frac{d\rho_{\text{kc}}g_{n,\text{kc}}V_{\text{kc}}}{d\tau} = \rho_{\text{t}}u_{\text{t}}F_{\text{t}}\beta_{\text{n}} - G_{\text{kc}}g_{n,\text{kc}}; \quad (3)$$

$$\frac{d\rho_{\text{kc}}g_{t,\text{kc}}V_{\text{kc}}}{d\tau} = \rho_{\text{t}}u_{\text{t}}F_{\text{t}}(1-\beta_{\text{n}}) - G_{\text{kc}}g_{t,\text{kc}}; \quad (4)$$

$$c_w\rho_wV_w \frac{dT_{w,\text{kc}}}{d\tau} = \alpha_{\text{kc}}(T_{\text{kc}} - T_{w,\text{kc}})F_{w,\text{kc}}; \quad (5)$$

$$p_{\text{kc}} = \rho_{\text{kc}}R_{\text{kc}}T_{\text{kc}}; \quad (6)$$

$$R_{\text{kc}} = R_{\text{t}}g_{\text{t}} + R_{\text{n}}g_{\text{n}} + R_{\text{a}}g_{\text{a}};$$

$$c_{v\text{kc}} = c_{v\text{t}}g_{\text{t}} + c_{v\text{n}}g_{\text{n}} + c_{v\text{a}}g_{\text{a}}. \quad (7)$$

Здесь  $\rho$  – плотность;  $G$  – расход;  $p$  – давление;  $T$  – температура;  $h$  – энтальпия;  $F$  – площадь поверхности;  $V$  – объём;  $Q$  – тепловой поток;  $R$  – газовая постоянная;  $\alpha$  – коэффициент теплоотдачи;  $c_v$  – удельная теплоёмкость при постоянном объёме;  $c$  – удельная теплоёмкость;  $g$  – массовая доля компонента газовой смеси;  $\tau$  – время;  $\beta_{\text{n}}$  – массовая доля водяного пара в продуктах сгорания топлива; индексы:  $w$  – стенка;  $t$  – топливо;  $a$  – воздух;  $kc$  – камера сгорания.

Движение газа в КО описывается следующей системой уравнений:

$$\frac{\partial\Phi}{\partial\tau} + \frac{\partial\Psi}{\partial x} = F, \quad (8)$$

$$\text{где } \Phi = \begin{bmatrix} \rho S \\ G \\ \rho e S \end{bmatrix}; \Psi = \begin{bmatrix} G \\ Gw + pS \\ Ge + pwS \end{bmatrix};$$

$$F = \begin{bmatrix} J_m \\ -\xi \frac{G^2 \Pi_{\text{экв}}}{8S^2 \rho} \\ -\Pi_w q_w + Q_m \end{bmatrix};$$

$$e = c_v T + \frac{w^2}{2}; \quad (9)$$

$$\frac{\partial p S g_i}{\partial \tau} + \frac{\partial G g_i}{\partial x} = J_{m,i}, i=\text{n, t, x}. \quad (10)$$

$$\frac{\partial T_w}{\partial \tau} = \frac{a_w}{r} \frac{\partial}{\partial r} \left( r \frac{\partial T_w}{\partial r} \right); \quad (11)$$

$$p = \rho R T; \quad (12)$$

$$\rho_{\text{n}} = \rho(p_{\text{n}}, T_{\text{n}}); \quad (13)$$

$$S = S_0 \epsilon; R = \sum_i R_i g_i; c_v = \sum_i c_{vi} g_i; i=\text{t, x, a}.$$

Здесь  $J_m$  – поток массы продуктов разложения охладителя в КО;  $J_{m,i}$  – поток массы  $i$ -го компонента;  $x$  – продольная координата;  $r$  – радиальная координата;  $a$  – коэффициент температуропроводности;  $\Pi_{\text{экв}}$  – эквивалентный периметр гранул;  $Q_m$  – сток тепла из-за разложения охладителя;  $\xi$  – коэффициент гидравлического сопротивления;  $q_w$  – плотность теплового потока;  $\epsilon$  – пористость;  $S_0$  – площадь сечения КО без охладителя;  $w$  – скорость; индексы:  $x$  – охладитель.

Начальные и граничные условия системы уравнений (1)–(5), (8)–(11) записываются следующим образом:

$$p_{\text{kc}}(0) = p_0; T_{\text{kc}}(0) = T_0; T_w(0) = T_0; g_{i,\text{kc}}(0) = 0. \quad (14)$$

$$p(0,x) = p_0; T(0,x) = T_0; G(0,x) = 0; \quad (15)$$

$$T_w(0,r) = T_0; g_i(0,x) = 0.$$

На входе в КО граничные условия задаются в виде:

$$\frac{k}{k-1} R_{\text{kc}} T_{\text{kc}} = \frac{k}{k-1} \frac{p(\tau,0)}{\rho_{\text{kc}}(\tau)} + \frac{w^2(\tau,0)}{2}; \quad (16)$$

$$p_{\text{kc}}(\tau) = p(\tau,0) + \rho(\tau,0) w^2(\tau,0); \quad (17)$$

$$g_t(\tau,0) = g_{t,\text{kc}}(\tau); g_n(\tau,0) = g_{n,\text{kc}}(\tau); \quad (18)$$

$$g_x(\tau,0) = 0,$$

где  $k$  – показатель адиабаты. На выходе из КО граничное условие записывается следующим образом:

$$\text{при } \frac{p_{\text{h}}}{p} > \left( \frac{2}{k+1} \right)^{\frac{k}{k-1}}$$

$$G(\tau,l) = \mu S_{\text{вых}} \sqrt{\frac{2k}{k-1} \rho p \left[ \left( \frac{p_{\text{h}}}{p} \right)^{\frac{2}{k}} - \left( \frac{p_{\text{h}}}{p} \right)^{\frac{k+1}{k}} \right]};$$

$$\text{при } \frac{p_{\text{h}}}{p} \leq \left( \frac{2}{k+1} \right)^{\frac{k}{k-1}}$$

$$G(\tau,l) = \mu S_{\text{вых}} \left( \frac{2}{k+1} \right)^{\frac{1}{k-1}} \sqrt{\frac{2k}{k+1} \rho p}. \quad (19)$$

Здесь  $p$  – давление на выходе из КО,  $p_h$  – давление у потребителя;  $\mu$  – коэффициент расхода;  $S_{\text{вых}}$  – площадь выходного отверстия. Для уравнения теплопроводности (11) задаются граничные условия III рода.

Уравнения (1)–(5) решаются методом Рунге–Кутта 4-го порядка [5]. Для решения уравнений (8)–(11) применяется метод конечных разностей. Уравнения (8) аппроксимируются неявной разностной схемой на равномерной разностной сетке:

## Теплоэнергетика

$$\frac{\Phi_n^{m+1} - \Phi_n^m}{\Delta t} + \frac{\Psi_n^{m+1} - \Psi_{n-1}^{m+1}}{\Delta x} = F_n^{m+1}, \quad n=2\dots N. \quad (20)$$

Здесь  $n$  – номер узла разностной сетки по длине КО;  $m$  – номер момента времени;  $\Delta x, \Delta t$  – шаги разностной схемы по координате  $x$  и времени соответственно. Векторы  $\Phi_n^{m+1}, \Psi_n^{m+1}, F_n^{m+1}$  раскладываются в ряд Тейлора с сохранением первых членов ряда:

$$\Phi_n^{m+1} = \Phi_n^{\overline{m+1}} + \left( \frac{\partial \Phi}{\partial Y} \right)_n^{\overline{m+1}} \left( Y_n^{m+1} - Y_n^{\overline{m+1}} \right);$$

$$\Psi_n^{m+1} = \Psi_n^{\overline{m+1}} + \left( \frac{\partial \Psi}{\partial Y} \right)_n^{\overline{m+1}} \left( Y_n^{m+1} - Y_n^{\overline{m+1}} \right);$$

$$F_n^{m+1} = F_n^{\overline{m+1}} + \left( \frac{\partial F}{\partial Y} \right)_n^{\overline{m+1}} \left( Y_n^{m+1} - Y_n^{\overline{m+1}} \right);$$

$$Y^t = |p, T, G|.$$

В результате разностное уравнение (20) приводится к виду

$$A_n Y_n^{m+1} - B_{n-1} Y_{n-1}^{m+1} = C_n, \quad n=2\dots N, \quad (21)$$

где  $A$  и  $B$  – матрицы  $3 \times 3$ ,  $C$  – вектор размерности 3;

$$A_n = \left( \frac{\partial \Phi}{\partial Y} \right)_n^{\overline{m+1}} + \frac{\Delta \tau}{\Delta x} \left( \frac{\partial \Psi}{\partial Y} \right)_n^{\overline{m+1}} - \Delta \tau \left( \frac{\partial F}{\partial Y} \right)_n^{\overline{m+1}};$$

$$B_{n-1} = \frac{\Delta \tau}{\Delta x} \left( \frac{\partial \Psi}{\partial Y} \right)_{n-1}^{\overline{m+1}};$$

$$C_n = -\Phi_n^m + \Phi_n^{\overline{m+1}} - \frac{\Delta \tau}{\Delta x} \left( \Psi_n^{\overline{m+1}} - \Psi_{n-1}^{\overline{m+1}} \right) + \Delta \tau F_n^{\overline{m+1}} + A_n Y_n^{\overline{m+1}} - B_{n-1} Y_{n-1}^{\overline{m+1}}.$$

Индекс  $\overline{m+1}$  означает параметр на предыдущей итерации ( $m+1$ )-го слоя по времени.

Уравнения (10) аппроксимируются неявной разностной схемой

$$\frac{(\rho S g_i)_n^{m+1} - (\rho S g_i)_n^m + (G g_i)_n^{m+1} - (G g_i)_{n-1}^{m+1}}{\Delta t} = (J_{m,i})_n^{m+1}, \quad (22)$$

из которой находятся массовые доли компонентов газовой смеси.

Границные условия (16), (17) преобразуются к виду

$$A_1 Y_1^{m+1} = C_1, \quad (23)$$

где  $A_1$  – матрица  $2 \times 3$ ,  $C_1$  – вектор размерности 2.

Границочное условие (19) преобразуется к виду

$$B_N Y_N^{m+1} = C_N, \quad (24)$$

где  $B_N$  – вектор размерности 3,  $C_N$  – скаляр.

Краевая задача (21), (23), (24) решается методом ортогональной прогонки [6, 7].

Уравнение теплопроводности (11) аппроксимируется неявной разностной схемой и приводит-

ся к трёхточечному разностному уравнению. Решение разностного уравнения выполняется трёхточечной скалярной прогонкой [6].

Результаты расчёта представлены на рис. 2–4.

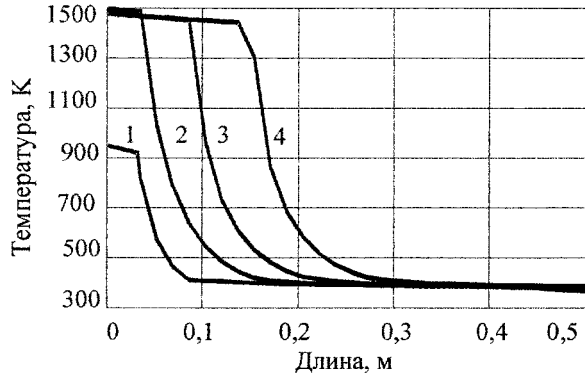


Рис. 2. Изменение температуры по длине КО:  
1 –  $\tau = 0,02$  с; 2 –  $\tau = 0,2$  с; 3 –  $\tau = 2,0$  с; 4 –  $\tau = 4,0$  с

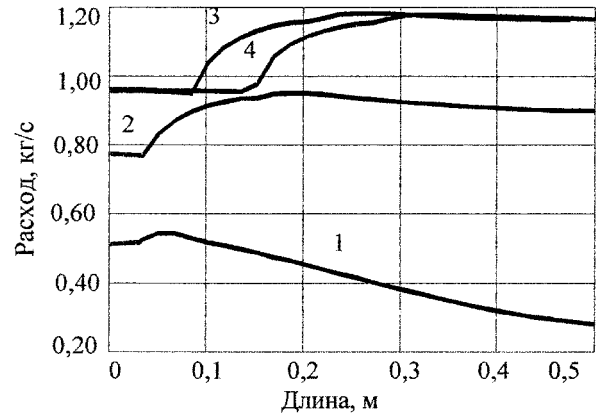


Рис. 3. Изменение расхода по длине КО

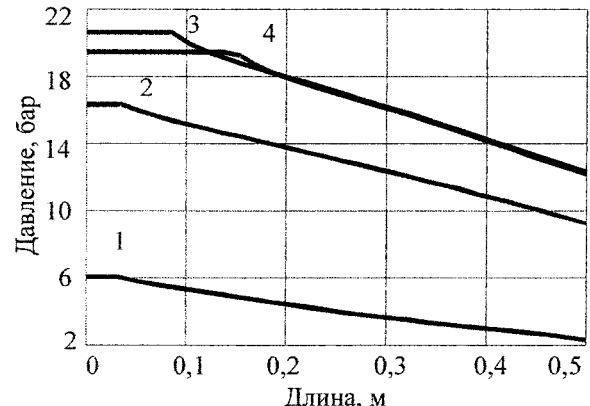


Рис. 4. Изменение давления по длине КО

На рис. 2 показано изменение температуры по длине КО в различные моменты времени. На рис. 3 показано изменение расхода по длине КО, а на рис. 4 – изменение давления по длине КО. Температура продуктов сгорания на входе в КО составляет 1500 К.

С течением времени из-за разложения гранул фронт горячего газа перемещается в глубь КО. Однако температура на выходе из КО находится на уровне 400 К. Изменение расхода и давления на входе в КО связано с горением топлива в КС и вследствие этого изменением давления в КС. Истечение из КС в КО происходит при критическом перепаде давления, поэтому процессы, происходящие в КО, не влияют на характер изменения параметров в КС.

Как следует из рис. 4, слой гранул представляет довольно большое гидравлическое сопротивление, вследствие чего изменение давления по длине КО составляет от 4 до 8 бар.

#### *Литература*

1. Теоретическое и экспериментальное исследование низкотемпературных газогенераторов: монография / Д.Д. Аксёнов, С.Д. Ваулин, В.Г. Зезин и др. – Ижевск, ИПМ УрО РАН, 2008. – 255 с.

2. Кириллов, В.В. Скорость разложения твёрдых охладителей / В.В. Кириллов // Вестник ИжГТУ. – 2008. – № 4(40). – С. 42–43.

3. Аэров, М.Э. Аппараты со стационарным зернистым слоем: гидравлические и тепловые основы работы / М.Э. Аэров, О.М. Тодес, Д.А. Наринский. – Л.: Химия, 1979. – 176 с.

4. Варгафтик, Н.Б. Справочник по теплофизическим свойствам жидкостей и газов / Н.Б. Варгафтик. – М.: Наука, 1972. – 720 с.

5. Калиткин, Н.Н. Численные методы / Н.Н. Калиткин. – М.: Наука, 1978. – 512 с.

6. Самарский, А.А. Методы решения сеточных уравнений / А.А. Самарский, Е.С. Николаев. – М.: Наука, 1978. – 589 с.

7. Кириллов, В.В. Расчет переходных процессов в обогреваемых каналах ортогональной прогонкой / В.В. Кириллов // Вопросы атомной науки и техники. Физика и техника ядерных реакторов. – 1990. – Вып. 5. – С. 16–21.

*Поступила в редакцию 15.01.2011 г.*

**Кириллов Валерий Владимирович.** Кандидат технических наук, доцент кафедры промышленной теплоэнергетики, Южно-Уральский государственный университет, г. Челябинск. Область научных интересов – математическое моделирование гидродинамики и тепло- и массообмена в энергетических установках. Контактный телефон: 8 (351) 267-93-95.

**Kirillov Valery.** Candidate of Science (Engineering), an associate professor of the Industrial Heat Power Engineering of South Ural State University, Chelyabinsk. Research interests: mathematical simulation of hydrodynamics and heat and mass transfer in power generating systems. Tel: 8 (351) 267-93-95.